

09;12

# ОБ АНОМАЛЬНОМ ПОВЕДЕНИИ ИМПУЛЬСОВ ВОЛН ТЕМ-ТИПА В НЕРЕГУЛЯРНЫХ СОГЛАСОВАННЫХ ПЕРЕХОДАХ

© В.И.Короза, В.Е.Кондрашов

При распространении импульсов электромагнитных волн типа  $TEM$  в согласованных нерегулярных отрезках линии без потерь, согласно сложившимся представлениям, вытекающим из одномодовой теории линий передачи электромагнитных волн этого типа, форма импульсов должна сохраняться.

Однако в реальном поведении импульсов экспериментально обнаружены существенные отклонения, выражющиеся в значительных изменениях их формы [1]. Подобное поведение импульсов может быть объяснено возникновением на распределенной неоднородности (в нерегулярном участке линии, в том числе и согласованном) процесса трансформации недисперсной  $TEM$ -волны в моды дисперсного характера, не учитываемые одномодовой теорией. Для адиабатически медленного изменения параметров распределенной неоднородности указанные качественные представления получили также и теоретическое подтверждение [1,2]. Здесь же мы рассмотрим это явление в условиях быстрого изменения параметров неоднородности на основе численного анализа нестационарных волноводных уравнений "модели связанных струн"— временного прообраза монохроматических волноводных уравнений [3], описывающих переходные процессы в нерегулярных волноводах и учитывающих трансформацию типов волн.

На рис. 1 и 2 представлены результаты расчетов процесса прохождения импульса  $TEM$ -волны в согласованных коаксиальных переходах между регулярными коаксиальными линиями. В каждом из двух приведенных примеров волна распространяется в пространстве между проводящими поверхностями: внутренним проводником  $r = a(z)$  (кривая 1) и внешним —  $r = b(z)$  (кривая 2) в вакууме ( $\epsilon = \mu = 1$ ). При этом в соответствии с условиями согласования вдоль всего тракта (в том числе и в регулярных участках слева и справа от перехода) выполняется условие  $b(z)/a(z) = \lambda = \text{const}$ . Для изображенных на рисунках примеров  $\lambda = 3$ .

Величины с размерностью длины для удобства представлены в безразмерном виде: за единицу длины принята длина перехода ( $0 < z < 1$ ) от левого регулярного участка трак-

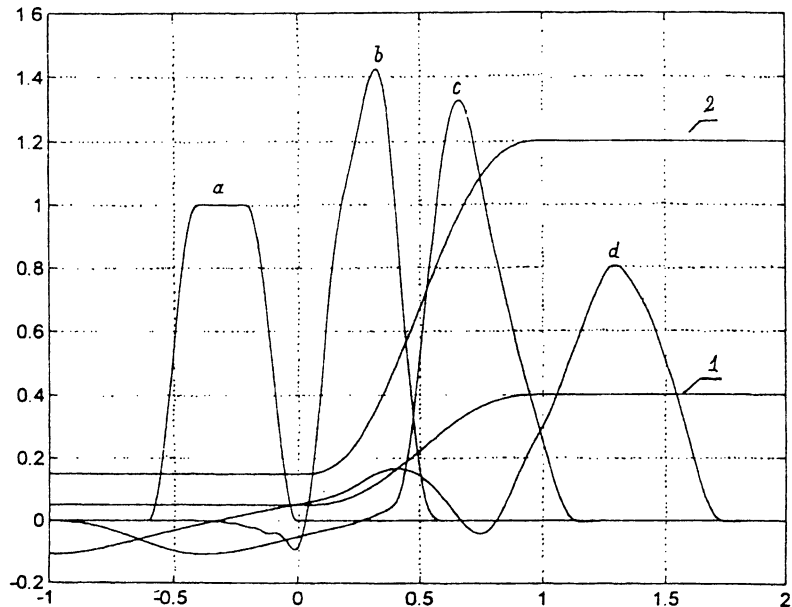


Рис. 1.

та ( $z < 0$ ;  $a(z) = \text{const} = 0.05$ ;  $b(z) = \text{const} = 0.15$ ) к его правому регулярному участку ( $z > 1$ ), для которого в примере на рис. 1  $a(z) = \text{const} = 0.40$  и  $b(z) = \text{const} = 1.20$  и в примере на рис. 2  $a(z) = \text{const} = 0.60$  и  $b(z) = \text{const} = 1.80$ .

Помимо функций  $a(z)$  и  $b(z)$  на рисунках приведены мгновенные формы импульса напряжения  $U(z) = \int_{a(z)}^{b(z)} E_r dr$  между соответствующими точками на внешнем и внутреннем проводниках тракта, вычисленные через равные интервалы времени для четырех различных моментов (кривые  $a$ ,  $b$ ,  $c$ ,  $d$ ). На каждом из рисунков начальному моменту времени отвечает кривая  $a$ , которой соответствует положение импульса, еще не успевшего достичь начала нерегулярного перехода в процессе перемещения его в положительном направлении оси  $Z$  из левого регулярного участка. К этому моменту процесс трансформации типов волн еще не начался и пространственная структура электромагнитного поля, соответствующая волне типа  $TEM$ , а также и первоначальная форма импульса напряжения вследствие отсутствия у этих волн дисперсии остаются неизменными в течение всего времени его распространения по этому участку.

В последующие моменты времени импульс проникает в переход. Здесь вследствие процесса трансформации типов волн начинается и развивается перестройка пространствен-

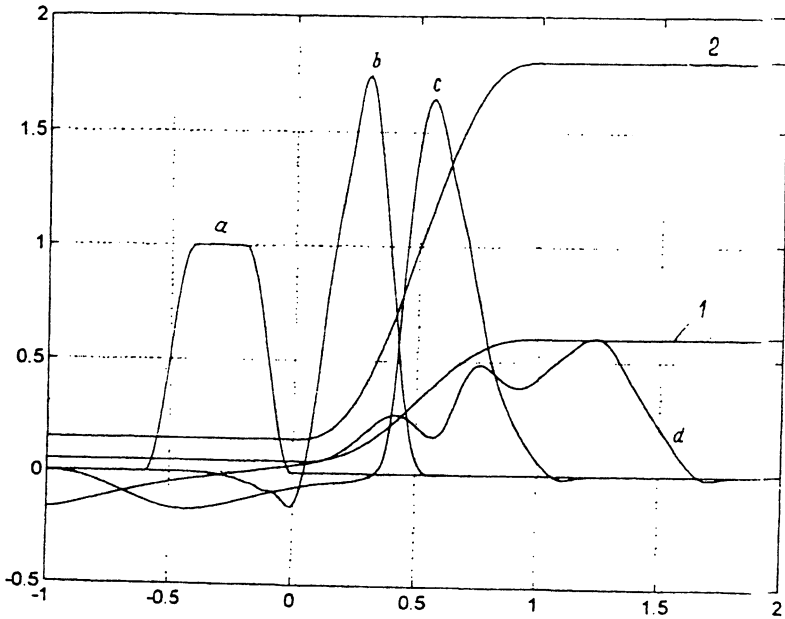


Рис. 2.

ной структуры поля импульса из-за возникающих дисперсных волн  $E$ -типа с иной пространственной конфигурацией. Появление при этом связи между "струнами" и межмодовой перекачки энергии приводит к непрерывному изменению радиальной компоненты напряженности электрического поля  $TEM$ -составляющей импульса и совпадающей с ней с точностью до размерного числового множителя формы импульса  $U(z)$  (для каждого соответствующего момента времени). Отмеченное совпадение вытекает из того, что средние по поперечному сечению значения радиальных компонент напряженности электрического поля у всех возникающих мод  $E$ -типа равны нулю, что приводит к нулевому вкладу этих мод в интегральную величину  $U(z)$ .

О последовательном изменении формы импульса  $U(z)$  при его распространении в переходе свидетельствуют кривые  $b$ ,  $c$  и  $d$  на представленных рисунках. Из этих кривых видно быстрое изменение у импульса его первоначальной формы вплоть до полного распада формы (вблизи выходного конца перехода на рис. 2 — кривая  $d$ ).

При выполнении расчетов помимо  $TEM$ -волны учитывалось 5 мод  $E$ -типа (волны  $E_{01}-E_{05}$ ). Для контроля точности расчетов по вычисленным значениям напряженности электрического и магнитного полей путем интегрирования

по объему плотности энергии вычислялась полная энергия импульса как функция времени. При этом для приведенных на рисунках примеров разброс значений полной энергии составил  $\sim 1\%$  (в том числе и для импульса в фазе распада — кривая  $d$  на рис. 2), что значительно превышает достичимую в настоящее время точность эксперимента.

**Резюме.** 1) Приведенные здесь примеры численного расчета дают количественное подтверждение сделанных ранее выводов [1,2] о существовании механизма изменения формы импульсов волны  $TEM$ -типа в согласованных нерегулярных переходах, не связанного с возможными потерями в тракте. Это качественно не согласуется с выводами из широко распространенной одномодовой теории. Упомянутый механизм обусловлен возникновением дисперсных волн при трансформации  $TEM$ -волны на распределенной неоднородности в переходе.

2) Из рис. 1 и 2 видно, что изменение формы импульсов даже в согласованном переходе может быть весьма значительным (вплоть до "распада" их формы).

3) Необходимость учета трансформации типов волн для устранения качественных несоответствий и получения приемлемой точности расчетов определяет границы применимости одномодовой модели.

4) Приведенные результаты расчетов на основе модели "связанных струн" показывают пригодность этого подхода для решения задач подобного типа; при этом точность расчетов, значительно перекрывающая экспериментальные возможности, легко достижима.

### Список литературы

- [1] Короза В.И., Нечаев М.Н., Цветков С.А. // Письма в ЖТФ. 1995. Т. 21. В. 11. С. 1–5.
- [2] Короза В.И. // Письма в ЖТФ. 1995. Т. 21. В. 20. С. 26–29.
- [3] Короза В.И., Старжинский В.М. // Вестник Московского университета. Матем. и механика. 1971. В. 1. С. 101–110.

Научно-исследовательский  
институт импульсной техники  
Москва

Поступило в Редакцию  
22 июля 1996 г.